

**ДЕРЖАВНА СЛУЖБА АВТОМОБІЛЬНИХ ДОРИГ УКРАЇНИ
(УКРАВТОДОР)**

НАЦІОНАЛЬНИЙ АВІАЦІЙНИЙ УНІВЕРСИТЕТ

МЕТОДИКА

**ПРОГНОЗУВАННЯ ЗАТОПЛЕННЯ МОСТІВ
ПІД ЧАС СТИХІЙНИХ ЛІХ В ЗАКАРПАТСЬКІЙ,
ЛЬВІВСЬКІЙ ТА ІВАНО-ФРАНКІВСЬКІЙ
ОБЛАСТЯХ**

М 218-01132330-454:2006

КИЇВ 2006

ДЕРЖАВНА СЛУЖБА АВТОМОБІЛЬНИХ ДОРИГ УКРАЇНИ
(УКРАВТОДОР)

Національний авіаційний університет

ЗАТВЕРДЖУЮ
Заступник Голови
Державної служби автомобільних
доріг України (Укравтодор)
Прусенко Є.Д. Прусенко
“16” 11 2006 р.

МЕТОДИКА

прогнозування затоплення мостів під час стихійних лих
в Закарпатській, Львівській та Івано-Франківській областях

M 218-01132330-454:2006

ПОГОДЖЕНО
Начальник Управління науково-
технічної політики Укравтодору
С.І. Андреєв С.І. Андреєв
“15” 11 2006 р.



ПОГОДЖЕНО
Директор департаменту
автомобільних доріг Укравтодору
О.В. Сухоносов О.В. Сухоносов
“14” 11 2006 р.

Виконавець
А.О. Белятинський А.О. Белятинський
“15” 11 2006 р.

Київ
2006

УДК 625.745.11

Методика прогнозування затоплення мостів під час стихійних лих в Закарпатській, Львівській та Івано-Франківській областях М 218-01132330-454:2006.-К.:УДВТП “Укрдортехнологія” 2006.-40с.

Рецензенти:

П.М. Коваль, кандидат технічних наук, доцент, член-кореспондент Академії Будівництва України, директор Державного дорожнього науково-дослідного інституту ім. М.П. Шульгіна

В.Г. Шкурат, заступник директора Українського державного проектного інституту по проектуванню об'єктів дорожнього господарства “Укрдіпродор”

А.Г. Панченко, головний інженер проекту АТЗТ “Інститут по вишукуванню та проектуванню автомобільних доріг та мостів Київсоюзшляхпроект”

Методика призначається для широко кола спеціалістів, діяльність яких пов’язана з розвитком дорожньо-мостового комплексу органів управління автомобільними дорогами служб Укравтодору, експертних органів структур виконавчої і законодавчої влади всіх рівнів, для головних інженерів проекту та інших інженерно-технічних працівників проектних організацій, що займаються проектуванням мостових переходів, а також громадянських організацій. Методика також призначена для використання викладачами, аспірантами, магістрами і студентами, які навчаються за спеціальностями “Будівництво та експлуатація автомобільних доріг і аеродромів” та “Мости і транспортні тунелі”.

1 СФЕРА ЗАСТОСУВАННЯ

1.1 Ця Методика передбачає встановлення максимальної витрати води в верхів'ях річок, на водомірних постах та визначення цієї величини в районах мостових переходів з врахуванням часу добігання під час холодного та теплого періодів року.

1.2 В Методиці розглядаються розрахунки побудови кривої вільної поверхні води, установлення динаміки зростання витрат води вздовж річки, отримання залежності між висотою затоплення мостового переходу і шириною розливання води на заплаві.

2 ПРОГНОЗУВАННЯ ВИТРАТ ВОДИ НА РІЧКАХ ЗАКАРПАТСЬКОЇ, ЛЬВІВСЬКОЇ ТА ІВАНО-ФРАНКІВСЬКОЇ ОБЛАСТЕЙ ПІД ЧАС ХОЛОДНОГО ТА ТЕПЛОГО ПЕРІОДІВ РОКУ

2.1 Повені, що спостерігаються на зазначених річках, формуються в будь-який час року і можуть бути зливового, снігового або сніго-дощового походження.

2.2 Багаторічні спостереження за рівневим режимом і максимальним стоком в створах водостів показують, що особливо значні і надзвичайно високі повені, наприклад, в басейні Тиси відмічались в 1913, 1927, 1933, 1941, 1947, 1948, 1955, 1957, 1968, 1970, 1980, 1992, 1993, 1995, 1998, 2001, 2006 роках, причому повені 1947, 1957, 1968, 1970, 1992, 1998 і 2001 років по характеру формування і катастрофічним наслідкам займають в цьому ряду особливе місце.

2.3 За даними спостережень водомірних постів на теплий період року (травень-жовтень) приходиться біля 65% загальної кількості повеней і тільки 35% - на холодний період (листопад-квітень). Однак, за величиною максимальної витрати і об'єму зв'язаного стоку повені холодного періоду, як правило, перевищують повені теплого.

2.4 В результаті нестійкого термічного режиму і частих переходів у зимовий час від від'ємних до плюсовых температур, у басейнах річок Закарпаття спостерігаються відлиги, під час яких на річках формуються високі повені холодного періоду.

2.5 Оскільки у період відлиг сніговий покрив частково або повністю сходить до весняної повені, яка найчастіше спостерігається у березні, запаси води у снігу невеликі і повінь формується невисока. Якщо в період останнього сходу снігу випадають дощі, весняна повінь може виявитися досить високою, найбільшою у році, як це спостерігалося на річках:

Тересва у 1962 р., Боржава, Латориця і Тур'я -у 1968 р.

2.6 Проте, на багатьох річках найбільші витрати у році за багаторіччя часто формуються у період відливів під впливом змішаного стоку, який утворюється від талого снігу і рідких опадів. Рідкі опади у змішаному стоці зимових відливів становлять 75-60%.

2.7 Статистичну обробку максимальних витрат та об'ємів стоку повеней холодного періоду слід проводити за даними водомірних постів, якість спостережень за стоком на яких повинна бути задовільною. На переважній більшості водостоків ряди спостережень слід використовувати з 1946 року. Тривалість рядів у переважній більшості пунктів спостережень повинна перевищувати 30 років. Тривалість спостережень може бути, як це має місце на річках Тиса, Тересва, Ріка, Боржава, Латориця, Уж (більше ніж 50 років).

2.8 Ряди спостережень над стоком по деяким водосткам, в різні роки слід продовжувати до 1999-2006 років. Для цього будують графічні зв'язки між витратами і об'ємами найближчих водомірних постів, що задовольняють вимоги басейнів-аналогів. Крім того, в багатьох випадках будують криві витрат $Q = f(H)$, що дозволяє за максимальними рівнями, представленими (але офіційно не опублікованими) Департаментом гідрометерологічної служби і моніторингу, визначити і включити в розрахунковий ряд спостережень максимальні витрати березневої повені 2001 року тощо.

2.9 Початок і кінець повені, визначають по гідрографах або по таблицях щоденного стоку, причому за розрахункові величини приймають об'єми одиночних повеней, що відповідають максимальним витратам.

2.10 Емпіричну щорічну ймовірність перевищення визначають за формулою:

$$P_m = \frac{m}{n+1} \cdot 100\%, \quad (2.1)$$

де m – порядковий номер членів спадного ряду гідрологічної характеристики;

n – кількість членів ряду.

2.11 Емпірична крива розподілу щорічних ймовірностей перевищення максимальних витрат води або об'ємів стоку будується на клітках ймовірностей. Для згладжування та екстраполяції емпіричних кривих приймають логарифмічно- нормальній розподіл.

2.12 Оцінку статистичних параметрів аналітичних кривих забезпеченості виконують графоаналітичним методом, для чого необхідно використовувати слідуючі формули:

$$S = \frac{Q_{5\%} + Q_{95\%} - 2Q_{50\%}}{Q_{5\%} - Q_{95\%}}, \quad (2.2)$$

$$\sigma = \frac{Q_{5\%} - Q_{95\%}}{\Phi_{5\%} - \Phi_{95\%}}, \quad (2.3)$$

$$\bar{Q} = Q_{50\%} - \Phi_{50\%}\sigma, \quad (2.4)$$

$$C_v = \frac{\sigma}{\bar{Q}}, \quad (2.5)$$

де C_s – коефіцієнт асиметрії (визначається як функція коефіцієнта кривизни по таблиці); S – коефіцієнт кривизни кривої забезпеченості; $Q_{5\%}$, $Q_{50\%}$, $Q_{95\%}$ – ординати згладжування емпіричної кривої 5, 50 та 95%-вої забезпеченості, m^3/s ;

$\Phi_{5\%}$, $\Phi_{50\%}$, $\Phi_{95\%}$ – нормовані відхилення від середнього значення ординат логарифмічно- нормальній кривої забезпеченості відповідно до обчислених значень коефіцієнту кривизни S ;

σ – середнє квадратичне відхилення;

\bar{Q} – середнє значення, m^3/s ;

C_v – коефіцієнт варіації.

2.13 Розрахункова величина максимальної витрати або об'єму стоку різної забезпеченості визначаються за формулою:

$$Q_p = \bar{Q} + \sigma\Phi_p \quad (2.6)$$

2.14 В таблиці 2.1 наведено параметри кривих розподілу максимальних витрат води холодного періоду та величини витрат різної забезпеченості, а в таблиці 2.2 параметри кривих розподілу об'ємів стоку повеней теплого періоду та величини об'ємів різної забезпеченості в створах опорних водомірних постів.

2.15 Аналіз таблиць показує, що параметри (C_v і C_s) кривих розподілу максимальних витрат та об'ємів стоку повеней холодного періоду змінюються в значних межах. Коефіцієнти варіації максимальних витрат коливаються від 0,43 до 1,15, а співвідношення C_s і C_v у переважній більшості випадків змінюються від 4 до 6. Значення C_v об'ємів стоку більш сталі і коливаються від 0,41 до 0,72, а співвідношення C_v і C_s частіше всього змінюються від 2

до 4.

2.16 За географічним положенням і кліматичними умовами Закарпаття розміщено у зоні розвиненої зливової діяльності. Щорічно у тій чи іншій частині території спостерігається одноразове короткочасне випадання великої кількості опадів (100 мм і більше), що є причиною формування значних, часто катастрофічних дощових повеней на річках, тимчасових водотоках і на більш дрібній географічній мережі (балки, яри).

2.17 Формування дощового стоку відбувається досить складно в результаті взаємодії метеорологічних факторів, що значно змінюються у часі та по території і обумовлюють характер зливи (інтенсивність, тривалість, площа зрошення), та ґрунтово-фізичних характеристик поверхні річкових водозборів, що визначають величину втрат на інфільтрацію, швидкість і час збігання води по схилах і руслу. Зливові опади, як основний фактор формування дощових повеней, розподіляються дуже нерівномірно і істотно відрізняються від розподілу річних сум опадів, що мають зональний характер і зменшуються у південному і південно-східному напрямку. Найбільш сприятливі умови формування дощових повеней у Закарпатті є результатом випадаючих рясних опадів і сприятливих орографічних умов.

2.18 Більша частина дощових опадів випадає влітку (особливо у червні та липні) і за теплий період року suma їх становить біля 70% від річної. За спостереженнями Закарпатської стокової станції (смт. Міжгір'я), опади літнього періоду (травень-жовтень) дають приблизно 60% річної суми, в окремі роки становлять 46-73%.

2.19 Статистична обробка максимальних витрат і об'ємів повеней теплого періоду проводиться для 39 водомірних постів. В більшості випадків ряди спостережень починаються з 1946-1947 років і охоплюють період до 2006р. включно. Ряди спостережень мають різну тривалість - від 24 до 72 років, але в переважній більшості пунктів спостережень переважають 30 років.

2.20 Ряди спостережень над стоком по деяких водостоках, в різні роки закритих або переведених в розряд рівневих, подовжуються до 2006р. включно за побудованими графіками зв'язку між витратами і об'ємами найближчих водомірних постів, що задоволяють вимогам басейнів-аналогів.

2.21 Початок і кінець повені визначаються по гідрографах або по таблицях щоденного стоку. За розрахункові величини приймаються об'єми одиночних паводків, що відповідають максимальним витратам.

2.22 Статистична обробка рядів, визначення розрахункових параметрів аналітичних кривих та величин максимальних витрат води і

Таблиця 2.3 – Параметри кривих розподілу максимальних витрат води холодного періоду та величини витрат різної забезпеченості в створах опорних водомірних постів

| №п/п | Ріка | Створ | Площа водозбігу, км ² | Період спостережень | Статистичні параметри | | | Витрати води (м ³ /с), забезпеченість: | | | | | | | | | |
|------|--------------|--------------|----------------------------------|---------------------|--|--------|-------------------|---|------|--------|--------|--------|--------|--------|----|------|--|
| | | | | | $Q_{\text{sep},*}$, м ³ /с | C_v | $\frac{C_u}{C_v}$ | 0,1% | | 0,5 % | | 1,0 % | | 5,0 % | | 10 % | |
| | | | | | | | | роки | n | 9 | 10 | 11 | 12 | 13 | 14 | 15 | |
| 1 | 2 | 3 | 4 | 5 | 6 | 7 | 8 | 9 | 10 | 11 | 12 | 13 | 14 | 15 | | | |
| 1 | Тиса | Рахів | 1070 | 1946-99,2001 | 54 | 266,0 | 0,86 | 4,2 | 2096 | 1394,0 | 1151,0 | 680,0 | 515,0 | 326,0 | | 11 | |
| 2 | " | Ділове | 1190 | 1945-96,2001 | 55 | 294,0 | 0,86 | 4,4 | 2357 | 1553,0 | 1278,0 | 749,0 | 567,0 | 357,0 | | | |
| 3 | " | Вилок | 9430 | 1953-99,2001 | 47 | 1780,0 | 0,44 | 3,0 | 5845 | 4740,0 | 4294,0 | 3252,0 | 2798,0 | 2172,0 | | | |
| 4 | Чорна Тиса | Ясіня | 194 | 1955-99,2001 | 45 | 48,8 | 0,67 | 4,3 | 289 | 203,0 | 172,0 | 110,0 | 86,7 | 59,3 | | | |
| 5 | " | Білин | 540 | 1945-99,2001 | 55 | 144,0 | 0,90 | 5,9 | 1312 | 820,0 | 656,0 | 363,0 | 268,0 | 167,0 | | | |
| 6 | Біла Тиса | Луги | 189 | 1954-99,2001 | 46 | 26,0 | 0,79 | 6,0 | 205 | 132,0 | 108,0 | 61,5 | 46,4 | 30,1 | | | |
| 7 | " | Розтоки | 473 | 1946-99,2001 | 54 | 132,0 | 0,84 | 4,8 | 1052 | 691,0 | 566,0 | 329,0 | 250,0 | 159,0 | | | |
| 8 | Косівська | Кос. Поляна | 122 | 1962-99 | 37 | 46,0 | 1,10 | 5,45 | 518 | 313,0 | 246,0 | 129,0 | 92,0 | 53,6 | | | |
| 9 | Шепотрука | Коб. Поляна | 240 | 1946-83,1998 | 43 | 104,0 | 0,82 | 4,0 | 764 | 518,0 | 430,0 | 260,0 | 200,0 | 128,0 | | | |
| 10 | Тересва | Уст.-Чорна | 572 | 1946-76, | 53 | 198,0 | 0,92 | 3,9 | 1655 | 1096,0 | 903,0 | 528,0 | 397,0 | 245,0 | | | |
| 11 | " | Нересниця | 1100 | 1955-99,2001 | 45 | 371,0 | 0,58 | 4,0 | 1802 | 1331,0 | 1150,0 | 776,0 | 636,0 | 453,0 | | | |
| 12 | Мокранка | Руська Мокра | 214 | 1946-99,2001 | 54 | 82,0 | 1,00 | 6,0 | 846 | 514,0 | 407,0 | 216,0 | 157,0 | 94,3 | | | |
| 13 | Брустуранка | Лопухів | 257 | 1945-88 | 43 | 86,0 | 0,90 | 4,4 | 728 | 476,0 | 389,0 | 224,0 | 168,0 | 105,0 | | | |
| 14 | Лужанка | Нересниця * | 149 | 1956-88 | 33 | 85,9 | 0,71 | 2,0 | 412 | 321,0 | 285,0 | 202,0 | 165,0 | 115,0 | | | |
| 15 | Теребля | Колочава | 369 | 1951-98,2001 | 48 | 165,0 | 0,70 | 4,0 | 1002 | 706,0 | 597,0 | 380,0 | 300,0 | 202,0 | | | |
| 16 | Ріка Міжирія | Міжирія | 550 | 1945-99 | 54 | 263,0 | 0,63 | 6,0 | 1615 | 1088,0 | 908,0 | 561,0 | 442,0 | 304,0 | | | |
| 17 | " | Хуст | 1130 | 1945-99,2001 | 55 | 456,0 | 0,48 | 4,2 | 1824 | 1397,0 | 1226,0 | 870,0 | 730,0 | 546,0 | | | |
| 18 | Горячінка | Горячінка | 59,0 | 1954-80 | 26 | 33,7 | 0,43 | 3,1 | 110 | 89,1 | 80,6 | 60,9 | 52,5 | 40,9 | | | |
| 19 | " | Майдан | 86,0 | 1955-94 | 39 | 42,0 | 0,55 | 5,8 | 219 | 153,0 | 130,0 | 84,5 | 68,1 | 48,7 | | | |
| 20 | Репинка | Репинка | 203 | 1946-99 | 53 | 114,0 | 0,57 | 4,0 | 546 | 404,0 | 349,0 | 236,0 | 194,0 | 139,0 | | | |

Кінець таблиці 2.4

| 1 | 2 | 3 | 4 | 5 | 6 | 7 | 8 | 9 | 10 | 11 | 12 | 13 | 14 | 15 |
|----|----------|---------------|------|----------|----|-------|------|-----|------|--------|--------|-------|-------|-------|
| 21 | Пилипець | Пилипець | 44,2 | 1956-99 | 44 | 29,5 | 0,76 | 4,7 | 209 | 140,0 | 110,0 | 70,1 | 53,9 | 35,3 |
| 22 | Студений | Нижн.Студений | 25,4 | 1954-94 | 41 | 20,0 | 1,00 | 6,0 | 206 | 125,0 | 99,2 | 52,8 | 38,2 | 23,0 |
| 23 | Боржава | Довге | 408 | 1946-99 | 54 | 114,0 | 0,74 | 4,1 | 744 | 515,0 | 433,0 | 270,0 | 211,0 | 140,0 |
| 24 | " | Ципанки | 1100 | 1961-99 | 39 | 140,0 | 1,00 | 6,0 | 1445 | 878,0 | 694,0 | 370,0 | 267,0 | 161,0 |
| 25 | Іршава | Іршава | 230 | 1954-87 | 34 | 43,1 | 1,25 | 4,0 | 520 | 323,0 | 256,0 | 135,0 | 95,9 | 53,3 |
| 26 | Латориця | Підгірцівська | 324 | 1947-99 | 53 | 120,0 | 0,85 | 4,2 | 936 | 623,0 | 515,0 | 305,0 | 231,0 | 146,0 |
| 27 | " | Свадана | 680 | 1947-99 | 53 | 144,0 | 1,1 | 4,1 | 1506 | 955,0 | 774,0 | 421,0 | 304,0 | 177,0 |
| 28 | " | Мукачеве | 1360 | 1947-99 | 53 | 347,0 | 0,97 | 3,9 | 3141 | 2043,0 | 1663,0 | 946,0 | 704,0 | 428,0 |
| 29 | " | Чоп**) | 2870 | 1924-43, | 72 | 145,0 | 0,96 | 4,7 | 1342 | 858,0 | 699,0 | 389,0 | 286,0 | 174,0 |
| 30 | Жденівка | В.Грабовниця | 150 | 1952-88 | 37 | 46,0 | 0,74 | 6,0 | 339 | 220,0 | 182,0 | 106,0 | 80,4 | 53,2 |
| 31 | Віча | Нелічине | 241 | 1958-99 | 42 | 76,4 | 0,85 | 5,3 | 635 | 409,0 | 335,0 | 190,0 | 142,0 | 90,0 |
| 32 | Пніє | Полонія | 166 | 1953-88 | 36 | 56,3 | 0,96 | 5,0 | 528 | 335,0 | 271,0 | 150,0 | 110,0 | 67,1 |
| 33 | Стара | Зняціве | 224 | 1952-99 | 48 | 15,3 | 0,89 | 3,6 | 120 | 80,9 | 67,2 | 40,4 | 30,7 | 19,2 |
| 34 | Уж | Жорнова | 286 | 1952-99 | 48 | 96,9 | 0,59 | 4,2 | 491 | 357,0 | 307,0 | 204,0 | 166,0 | 118,0 |
| 35 | " | Вел.Бережани* | 653 | 1955-88 | 34 | 165,0 | 0,63 | 3,2 | 815 | 612,0 | 530,0 | 361,0 | 295,0 | 207,0 |
| 36 | " | Зарічеве | 1280 | 1947-99 | 53 | 275,0 | 0,63 | 3,8 | 1448 | 1056,0 | 907,0 | 601,0 | 485,0 | 339,0 |
| 37 | " | Ужгород | 1970 | 1947-99 | 53 | 357,0 | 0,74 | 4,6 | 2428 | 1646,0 | 1371,0 | 840,0 | 650,0 | 431,0 |
| 38 | Ліога | Чорногорівка | 169 | 1956-99 | 44 | 36,2 | 0,60 | 3,3 | 172 | 130,0 | 113,0 | 77,2 | 63,4 | 45,1 |
| 39 | Тур'я | Сімер | 464 | 1958-99 | 42 | 136,0 | 0,92 | 3,9 | 1137 | 753,0 | 620,0 | 362,0 | 272,0 | 168,0 |

* за даними "Аналіз гідрометеорологічних умов формування та розвитку екстремальних паводків в Закарпатті", Київ, УкраїНДІМІ, 2001 р.

**) розрахункові значення максимальних витрат води не ув'язані в зв'язку з викривленням стоку різного рошу спорудами на ділянці між відппостами Мукачеве та Чоп

об'ємів стоку повеней теплого періоду різної забезпеченості виконуються аналогічно максимальним витратам і об'ємам стоку повеней холодного періоду.

2.23 В таблиці 2.3 наведено параметри кривих розподілу максимальних витрат води теплого періоду та величини витрат різної забезпеченості, а в таблиці 2.4 -параметри кривих розподілу об'ємів стоку паводків теплого періоду та величини об'ємів різної забезпеченості в створах опорних водомірних постів.

2.24 Аналіз таблиць показує, що коефіцієнт варіації максимальних витрат і об'ємів стоку паводків теплого періоду коливається в значних межах - від 0,46 до 1,40. Співвідношення C_S і C_V максимальних витрат в більшості випадків змінюється від 4 до 6, а об'ємів – від 3 до 5.

2.25 В зв'язку з тим, що на річках Закарпаття максимальні витрати води спостерігаються в різні сезони року, формуються за рахунок стоку різного походження і не пов'язані між собою, визначаються розрахункові (узагальнені) максимальні витрати води і об'єми стоку повеней різної забезпеченості.

2.26 Для цього на підставі кривих розподілу максимальних витрат і об'ємів стоку холодного і теплого періодів розраховуються узагальнені криві розподілу за такою формулою:

$$P = (P_1 + P_2 - P_1 P_2) \cdot 100, \quad (2.7)$$

де P - ймовірність перевищення розрахункових (узагальнених) максимальних витрат або об'ємів стоку, %;

P_1 - ймовірність перевищення максимальних витрат або об'ємів стоку повеней холодного періоду, %;

P_2 - ймовірність перевищення максимальних витрат або об'ємів стоку повеней теплого періоду, %.

2.27 В таблиці 2.5 наведено розрахункові (узагальнені) максимальні витрати води, а в таблиці 2.6 – розрахункові (узагальнені) об'єми стоку повеней різної забезпеченості в створах опорних водомірних постів.

2.28 Величини максимального стоку в басейні Тиси, про що свідчать дані таблиць коливаються в значних межах. Найбільш високі модулі та шари стоку спостерігаються в басейнах річок Тересви, Тереблі, Рікі і Латориці. Низькі їх значення, внаслідок орографічних особливостей і характеру зрошення опадами, властиві річкам басейну Боржави та Ужа, де в значний мірі позначається також вплив висоти водозбору.

2.29 Наведені вище характеристики максимального стоку в створах водопостів використовуються як основа при визначені максимальних витрат і

Таблиця 2.5 – Розрахункові (узагальнені) максимальні витрати води різної забезпеченості в створах опорних водомірних постів

| № п/п | Ріка | Створ | Площа водозбі- ру, км ² | Період спостережень: | | Витрати води (м ³ /с), забезпеченістю: | | | | | |
|----------|------------|-------------|--|-------------------------|----|--|-------|------|-------|------|------|
| | | | | роки | n | 0,1 % | 0,5 % | 1,0% | 5,0 % | 10% | 25% |
| 1 | 2 | 3 | 4 | 5 | 6 | 7 | 8 | 9 | 10 | 11 | 12 |
| 1 | Тиса | Рахів | 1070 | 1946- 99,2001 | 54 | 2200 | 1510 | 1270 | 780 | 600 | 420 |
| 2 | " | Длове | 1190 | 1945- 99,2001 | 55 | 2450 | 1660 | 1390 | 860 | 670 | 470 |
| 3 | " | Вилок | 9430 | 1953- 99,2001 | 47 | 7400 | 5650 | 5000 | 3600 | 3100 | 2450 |
| 4 | Чорна Тиса | Ясіня | 194 | 1955- 99,2001 | 45 | 620 | 375 | 295 | 160 | 120 | 80,0 |
| 5 | " | Білин | 540 | 1945- 99,2001 | 55 | 1470 | 950 | 770 | 440 | 340 | 225 |
| 6 | Біла Тиса | Луги | 189 | 1954- 99,2001 | 46 | 584 | 348 | 267 | 137 | 98,0 | 56,0 |
| 7 | " | Розтоки | 473 | 1946- 99,2001 | 54 | 1100 | 760 | 630 | 380 | 300 | 200 |
| 8 | Косівська | Кос. Поляна | 122 | 1962-99 | 37 | 518 | 313 | 246 | 132 | 97,0 | 61,5 |

Кінець таблиці 2.5

| | | | | | | | | | | | |
|----|-------------|-----------------|------|------------------------------|----|------|------|------|------|------|------|
| 1 | 2 | 3 | 4 | 5 | 6 | 7 | 8 | 9 | 10 | 11 | 12 |
| 9 | Шопурка | Коб. Поляна | 240 | 1946- 88,1998 | 43 | 764 | 518 | 430 | 260 | 203 | 140 |
| 10 | Тересва | Усть-Чорна | 572 | 1946-76, 1978- 99,2001 | 53 | 1655 | 1096 | 903 | 535 | 422 | 285 |
| 11 | " | Нересниця | 1100 | 1955- 99,2001 | 45 | 2235 | 1565 | 1340 | 895 | 730 | 527 |
| 12 | Мокранка | Руська Мокра | 214 | 1946- 99,2001 | 54 | 880 | 565 | 445 | 250 | 190 | 115 |
| 13 | Брустуранка | Лопухів | 257 | 1945-88 | 43 | 900 | 600 | 495 | 300 | 230 | 150 |
| 14 | Лужанка | Нересниця | 149 | 1956-88 | 33 | 582 | 396 | 337 | 228 | 187 | 131 |
| 15 | Теребля | Колочава | 369 | 1951- 98,2001 | 48 | 1050 | 750 | 645 | 420 | 335 | 235 |
| 16 | Ріка | Міжгір'я | 550 | 1945-99 | 54 | 1615 | 1120 | 945 | 618 | 500 | 365 |
| 17 | " | Хуст | 1130 | 1945- 99,2001 | 55 | 2180 | 1585 | 1380 | 978 | 820 | 610 |
| 18 | Голятинка | Голятин | 59,0 | 1954-80 | 26 | 292 | 195 | 162 | 100 | 80,0 | 59,0 |
| 19 | " | Майдан | 86,0 | 1955-94 | 39 | 341 | 234 | 195 | 120 | 95,0 | 68,0 |
| 20 | Репинка | Репинне | 203 | 1946-99 | 53 | 730 | 495 | 415 | 275 | 225 | 160 |
| 21 | Пилипець | Пилипець | 44,2 | 1956-99 | 43 | 212 | 145 | 122 | 80,5 | 68,0 | 48,0 |

Таблиця 2.6 – Розрахункові (узагальнені) об'єми стоку паводків різної забезпеченості в створах опорних водомірних постів

| № п/п | Ріка | Створ | Площа водозбо- ру, км ² | Період спостережень: | | | Об'єм води (млн. м ³), забезпеченість: | | | | | |
|----------|-------------|--------------|--|-------------------------|----|-------|---|-------|-------|------|------|--|
| | | | | роки | п | 0,1 % | 0,5 % | 1,0 % | 5,0 % | 10 % | 25 % | |
| 1 | 2 | 3 | 4 | 5 | 6 | 7 | 8 | 9 | 10 | 11 | 12 | |
| 1 | Тиса | Рахів | 1070 | 1946-99 | 53 | 325 | 243 | 212 | 146 | 120 | 89,0 | |
| 2 | " | Ділове | 1190 | 1945-99 | 54 | 360 | 280 | 250 | 183 | 156 | 119 | |
| 3 | " | Вилок | 9430 | 1953-99 | 46 | 2570 | 1870 | 1640 | 1165 | 970 | 740 | |
| 4 | Чорна Тиса | Ясіня | 194 | 1955-99 | 44 | 103 | 64,5 | 51,2 | 29,0 | 22,0 | 15,0 | |
| 5 | " | Білим | 540 | 1945-99 | 54 | 163 | 121 | 106 | 76,0 | 64,0 | 48,0 | |
| 6 | Біла Тиса | Луги | 189 | 1954-99 | 45 | 99,0 | 63,0 | 51,0 | 30,0 | 24,0 | 16,0 | |
| 7 | " | Розтоки | 473 | 1946-99 | 53 | 188 | 139 | 118 | 82,5 | 69,0 | 53,0 | |
| 8 | Косівська | Кос. Поляна | 122 | 1962-99 | 37 | 59,5 | 44,8 | 39,0 | 26,8 | 22,0 | 16,0 | |
| 9 | Шопурка | Коб. Поляна | 240 | 1946-88 | 42 | 110 | 78,0 | 67,3 | 45,0 | 37,2 | 27,0 | |
| 10 | Тересва | Усть-Чорна | 572 | 1946-76, 1978-99 | 52 | 226 | 169 | 148 | 103 | 85,0 | 62,5 | |
| 11 | " | Нересниця | 1100 | 1955-99 | 44 | 422 | 322 | 281 | 197 | 163 | 120 | |
| 12 | Мокранка | Руська Мокра | 214 | 1946-99 | 53 | 89,0 | 66,0 | 57,0 | 39,0 | 32,5 | 23,5 | |
| 13 | Брустуранка | Лопухів | 257 | 1945-88 | 43 | 118 | 82,0 | 68,0 | 45,0 | 36,0 | 26,0 | |
| 14 | Теребля | Колочава | 369 | 1951-98 | 47 | 120 | 93,0 | 83,0 | 60,0 | 51,0 | 39,0 | |

18

Кінець таблиці 2.6

| 1 | 2 | 3 | 4 | 5 | 6 | 7 | 8 | 9 | 10 | 11 | 12 |
|----|-----------|---------------|------|---------|----|------|------|------|------|------|------|
| 15 | Ріка | Міжгір'я | 550 | 1945-99 | 54 | 183 | 132 | 116 | 85,5 | 74,0 | 57,5 |
| 16 | " | Хуст | 1130 | 1945-99 | 54 | 365 | 292 | 266 | 202 | 177 | 139 |
| 17 | Голятинка | Майдан | 86,0 | 1955-94 | 39 | 45,0 | 27,5 | 22,1 | 14,8 | 12,4 | 9,10 |
| 18 | Репинка | Репинне | 203 | 1946-99 | 53 | 80,8 | 54,5 | 45,5 | 31,0 | 26,0 | 20,0 |
| 19 | Пилипець | Пилипець | 44,2 | 1956-99 | 43 | 23,1 | 14,1 | 11,5 | 7,70 | 6,45 | 4,95 |
| 20 | Студений | Нижн.Студений | 25,4 | 1953-94 | 41 | 13,4 | 8,30 | 6,70 | 4,30 | 3,50 | 2,60 |
| 21 | Боржава | Довге | 408 | 1946-99 | 53 | 155 | 110 | 95,0 | 65,0 | 55,0 | 40,0 |
| 22 | Боржава | Шаланки | 1100 | 1961-99 | 38 | 340 | 240 | 205 | 140 | 120 | 90,0 |
| 23 | Іршава | Іршава | 230 | 1954-88 | 34 | 59,0 | 44,0 | 38,0 | 26,0 | 21,5 | 15,5 |
| 24 | Латориця | Підполоззя | 324 | 1946-99 | 53 | 133 | 96,0 | 83,0 | 59,0 | 49,0 | 37,5 |
| 25 | " | Свалива | 680 | 1946-99 | 53 | 200 | 150 | 130 | 93,0 | 80,0 | 60,0 |
| 26 | " | Мукачеве | 1360 | 1946-99 | 53 | 385 | 290 | 255 | 180 | 150 | 115 |
| 27 | " | Чоп | 2870 | 1946-99 | 53 | 660 | 500 | 435 | 320 | 270 | 205 |
| 28 | Жденявка | В. Грабовниця | 150 | 1951-88 | 37 | 46,0 | 35,5 | 31,8 | 24,1 | 20,8 | 16,2 |
| 29 | Віча | Неліпине | 241 | 1957-99 | 42 | 79,0 | 57,0 | 49,0 | 34,0 | 28,0 | 21,0 |
| 30 | Пініс | Поляна | 166 | 1952-88 | 36 | 52,5 | 39,5 | 34,5 | 25,0 | 21,0 | 16,0 |
| 31 | Стара | Зняцеве | 224 | 1951-99 | 48 | 66,0 | 44,0 | 36,0 | 22,5 | 18,0 | 13,0 |
| 32 | Уж | Жорнава | 286 | 1951-99 | 48 | 96,1 | 72,5 | 63,0 | 43,5 | 36,0 | 26,0 |
| 33 | " | Зарічеве | 1280 | 1946-99 | 53 | 335 | 258 | 229 | 168 | 142 | 107 |
| 34 | " | Ужгород | 1970 | 1946-99 | 53 | 403 | 333 | 304 | 237 | 206 | 163 |
| 35 | Лютота | Чорноголова | 169 | 1955-99 | 44 | 50,0 | 38,0 | 33,3 | 23,2 | 19,2 | 14,0 |
| 36 | Тур'я | Сімер | 464 | 1957-99 | 42 | 170 | 116 | 99,0 | 69,5 | 58,0 | 43,5 |

19

об'ємів повеней у розрахункових створах за відсутності там гідрометричних спостережень.

2.30 Аналіз інформації по водостоках приводить до таких висновків:

- найбільші витрати води в холодний період року формуються перш за все за рахунок дощової складової, а снігова складова не перевищує 20% об'єму, тобто максимальні витрати води і в цей період зумовлюються саме повенями, тому підпадають під дію практично тих самих законів, що властиві повеням теплого періоду, хоч і за деяко інших умов їх формування;
- величини максимальних витрат води холодного періоду можуть дещо перевищувати максимуми теплого періоду, але для малих площ водозборів вони однозначно менші за теплі.

Вказані висновки дають змогу обрати відповідні методи визначення характеристик максимального стоку в розрахункових створах, узгоджені з діючими нормативами та придатні для масових розрахунків на стадії схеми.

2.31 Враховуючи насиченість території стоковими водостками в діапазоні водозборів від 25 до 10000 км², стає можливим застосування найбільш надійного методу аналогії за такою редукційною формулою:

$$Q_{P\%} = q_{1\%} \left(\frac{A_a}{A} \right)^n \lambda_{P\%} A, \quad (2.8)$$

де $Q_{P\%}$ – максимальна витрата води розрахункової забезпеченості, м³/с; $q_{1\%}$ – модуль максимальної витрати 1%-ної забезпеченості, м³/с км²;

A_a – площа водозбору ріки-аналога, км²;

A – площа водозбору у розрахунковому створі, км²;

$\lambda_{P\%}$ – коефіцієнт переходу від максимальної витрати 1%-ної забезпеченості до витрат інших забезпеченостей;

n – коефіцієнт редукції модуля максимальної витрати залежно від площини водозбору.

Очевидним є те, що основним інструментом вказаної формули є саме коефіцієнт редукції n . Зважаючи на суттєве збільшення (на 20-50%) модулів максимальних витрат річок Закарпаття після врахування видатних повеней 1998 і 2001 рр. стає необхідним і доцільним визначитись як з величиною коефіцієнта редукції n , так і з областю застосування редукційної формули.

2.32 З цією метою досліджені залежності $Q_{P\%}=f(A)$ в логарифмічних координатах. Дослідження показало:

- форма залежності практично однаакова для повеней холодного і теплого періодів, а також узагальнених максимумів;
- залежність різко змінюється в районі 60-100 км², визначаючи верхній

ліміт застосування редукційної формули;

– коефіцієнт редукції від зазначеного ліміту і в бік більших площ є практично однаковим для повеней різного походження, а також узагальнених величин, і коливається в діапазоні від плюс мінус 5 до 6% і є близьким до $n=0,40$.

2.33 Таким чином, область застосування і основний інструмент редукційної формули дістали своє підтвердження, а сама формула має право по застосування по всій території Закарпаття у визначеному діапазоні.

2.34 Очевидним є те, що в діапазоні площ водозборів, менших за 60-100 km^2 , краще застосовувати формули типу граничної інтенсивності стоку, але значні зміни в уявленнях про величини максимальних витрат води, шару максимального стоку, максимальних опадів та їх редукції у часі обумовлюють необхідність перевірок і відповідно коригування основних параметрів формул граничної інтенсивності, наведених у діючих нормативах [1,2,3,4,5].

2.35 Слід використати безпосередньо графічну залежність модулів максимальних витрат води від площ водозборів, менших за 100 km^2 , що є практично унікальною можливістю для такого діапазону площ і гарантією від суттєвих помилок. Крім того, для малих водозборів, висота яких не перевищує 150-500 м над рівнем моря, слід застосовувати понижуючий коефіцієнт 0,815, що відображає різницю в редукції опадів на Закарпатській низовині та в горах згідно з [6]. В такий спосіб отримано можливість визначення максимальних витрат води дуже малих річок.

3 РОЗРАХУНОК КРИВОЇ ВІЛЬНОЇ ПОВЕРХНІ ВОДИ В РАЙОНІ МОСТОВОГО ПЕРЕХОДУ ПІД ЧАС КАТАСТРОФІЧНОЇ ПОВЕНІ

3.1 З метою прогнозування затоплення мостів під час стихійних лих встановлюються середні відмітки поверхні води z_c по всіх розрахункових поперечниках. Такий підхід до розв'язання задачі базується на отриманому І.А.Шеренковим уявленні поперечного похилу поверхні води за допомогою перевищення місцевих відміток поверхні води z_n над середнім рівнем води на даному поперечнику z_c .

На прямолінійних і слабоззвичистих ділянках русла поперечна зміна відміток поверхні води не враховується. Перший етап розрахунку може не виконуватися, якщо середні відмітки поверхні води на поперечниках можуть бути визначені з заданого чи установленого натурними спостереженнями поздовжнього профілю поверхні води.

3.2 Визначення середніх відміток поверхні води z_c на поперечниках є одномірною задачею побудови кривої вільної поверхні нерівномірного потоку і виконується шляхом розв'язання кінцево-різностного рівняння поздовжньої рівноваги, складеного для повного перерізу потоку з урахуванням рівняння нерозривності:

$$\Delta z_c = \frac{Q^2 \Delta l_o}{K_m^2} + \frac{Q^2}{2g} \left(\frac{1}{\omega_{k+1}^2} - \frac{1}{\omega_k^2} \right) \quad (3.1)$$

де Δz_c – поздовжнє падіння середньої відмітки поверхні води між поперечниками (позитивне, якщо відмітка зменшується вниз за течією); Δl_o – відстань між поперечниками вздовж вісі потоку в зоні мостового переходу (до і після моста);

K – модуль витрати;

індекси: c – середня величина по перерізу потоку;

m – середня величина між двома сусідніми поперечниками;

k – порядковий номер поперечника, зверху вниз за течією.

У випадку неістотного впливу зміни площини перерізу русла на величину перепаду рівнів іншим складовим в рівнянні 3.1 (інерційним членом) часто нехтують, що спрощує розрахунки. Проте, на гірських ділянках рік, де мають місце великі швидкості течії і істотні зміни ширини потоку по довжині, цього робити не можна.

3.3 Для визначення, середнього між двома сусідніми поперечниками, значення модуля витрати k_m рекомендується користуватися наступними формулами:

$$K_m = 0,5(K_k + K_{k+1}), \quad (3.2)$$

$$K_k = \sum_{t=1}^{t=M} \omega_{kt} C_{kt} H^{1/2}, \quad (3.3)$$

де M і t відповідно кількість і номер ділянок перерізу з різними коефіцієнтами шорсткості n . У випадку використання для визначення коефіцієнта Шезі C формули Маннінга, формула для визначення модуля витрати на k -му поперечнику має вигляд:

$$K_k = \sum_{t=1}^{t=M} \frac{\omega_{kt} H_{kt}^{2/3}}{n_{kt}} = \sum_{t=1}^{t=M} \frac{\omega_{kt}^{5/3}}{n_{kt} B_{kt}^{2/3}}, \quad (3.4)$$

де B_t – ширина ділянки поперечника.

3.4 Таким чином, в загальному випадку поток зі змінною шорсткостю по ширині поперечника (а саме, у випадку русла з заплавою) в першому наближенні тільки модуль витрати k рекомендується подавати у вигляді суми модулів витрат для кожної частини поперечника (зі своїм коефіцієнтом шорсткості). Інерційний же член (друга складова) рівняння 3.1 в цьому наближенні необхідно подати, використовуючи величини всієї площині перерізу потоку, включаючи русло і заплаву.

3.5 В зв'язку з неможливістю аналітичного представлення залежності $\omega = f(z_c)$, яка залежить від топографії русла на кожному конкретному поперечнику, розрахунок кривої вільної поверхні води, виконується підбором послідовно переходячи від одного розрахункового поперечника до іншого. Напрямок розрахунку залежить від стану потоку. Для спокійного потоку, для якого число Фруда $F_r = \frac{u^2}{gH} < 1$, розрахунок кривої вільної поверхні необхідно здійснювати проти течії, керуючись тим, що в такому потоці рух води визначається, головним чином, потенціальною енергією і залежить від умов течії нижче даного створу. Для бурхливого потоку ($F_r > 1$), який визначається кінетичною енергією і умовами течії вище даного створу, розрахунок потрібно вести за течією. Виходячи з цього, для гірських ділянок рік, на яких часто можуть спостерігатися переходи від бурхливого стану потоку до спокійного і навпаки для кожної заданої відмітки поверхні води під час розрахунків необхідно контролювати число Фруда і обмежити розрахунок тим станом потоку, який відповідає вираному напрямку розрахунку. Для річок з затопленою заплавою число Фруда слід підраховувати окремо для русла і заплави. В першому наближенні при розрахунку кривої вільної поверхні за допомогою рівняння 3.1 підрахунок чисел Фруда виконується для всього потоку в цілому.

3.6 Побудова кривої вільної поверхні води по рекомендованій методиці вимагає, щоб були відомі (або задані) відмітки поверхні води при даній розрахунковій витраті в початкових створах, розташованих на нижній границі ділянки річки, яка розглядається, у випадку постійної течії і на верхній межі у випадку бурхливого потоку. Такими вихідними відмітками з відомим наближенням можуть бути такі вирані відмітки рівномірного потоку, визначені за похилом дна i_d підбором за допомогою формули Шезі-Маннінга

$$Q = i_d^{1/2} \sum_{i=1}^{l=M} \frac{\omega_i H_i^{2/3}}{n_i} = i_d^{1/2} \sum_{i=1}^{l=M} \frac{\omega_i^{5/3}}{n_i B_i^{2/3}} . \quad (3.5)$$

Для визначення цих вихідних відміток повинні бути вирані створи, де течія води неістотно відрізняється від рівномірної (відсутній помітний

вплив нижчерозташованого русла при спокійній течії і вищерозташованого при бурхливій).

3.7 На ділянках гірських рік можуть зустрічатися перепади, швидкотоки або ж малі мости (водозлив з широким потоком).

Для таких ділянок в деяких випадках коли:

- вище гребеню перепаду (чи швидкотоку) має місце спокійна течія і , відповідно, на цьому гребені установлюється критичний режим течії ($F_r = 1$);
- витікання зі звуженого перерізу є незатопленим з властивою для нього бурхливою течією на порозі водозливу – для побудови кривої вільної поверхні води необхідно використовувати рекомендації розрахунку течії в цих штучних спорудах.

3.8 Для розрахунку кривої вільної поверхні води за рівнянням (3.1) для русел довільного перерізу (але з помітним послідовним зростанням відміток дна русла і заплави в обидві сторони від осі потоку в зоні передбачуваної зміни рівня води) розроблений алгоритм програми.

Алгоритм програми розрахунку

При підготовці вихідних даних на план ділянки наносяться прямолінійні поперечники (пронумеровані зверху вниз за течією), намічені приблизно перпендикулярно напрямку течії в руслі і в межах можливого затоплення при максимальній повені. Для кожного поперечника складають таблиці поперечних координат x_p , точок перелому схематизованої поверхні русла і відповідних їм відміток дна z_{dp} по всій довжині поперечників, виходячи за межі затоплення максимальними повенями. Початок координат на всіх поперечниках необхідно розміщувати по одну сторону русла. Початковими точками на кожному поперечнику приймають умовні точки за межами зони затоплення $1 \leq p \leq D_k$, D_k – число точок перелому на k – му поперечнику. Крім того, на кожному поперечнику задаються такими величинами:

- n_t – значення коефіцієнту шорсткості на кожній ділянці поперечника;
- M – кількість ділянок з різними коефіцієнтами шорсткості n_t ;
- p_i – номери координат переломів поверхні русла, співпадаючих з межами ділянок з різними коефіцієнтами шорсткості;
- $(z_{min})_k$, $(z_{max})_k$ – мінімальна і максимальна відмітка водної поверхні на всіх поперечниках.

В цілому для всього розрахунку задається:

Q – розрахункова витрата води;

z_n – середня відмітка поверхні води на початковому поперечнику.

Для кожної розрахункової ділянки задається чи визначається на плані ділянки Δl_o – відстань між поперечниками на динамічній осі потоку.

З математичної точки зору задача зводиться до розв'язання рівняння (3.1)

на відрізку $[(z_{\min})_k \text{ i } (z_{\max})_k]$, що виконується методом пропорційних частин.

Порядок розрахунку:

a) на початковому поперечнику

1) При заданій відмітці водної поверхні z_n , тобто, приймаючи $z(a) = z_n$ перебором знаходять ті значення p , для яких справедливі умови:

$$z_{\delta(p+1)} < z(a) \leq z_{\delta p} \quad (3.6)$$

$$z_{\delta(p-1)} < z(a) \leq z_{\delta p} \quad (3.7)$$

Той номер p , для якого справедливо (3.6) вважають початковим ($p = p_{\text{нач}}a$), а той, для якого справедливо (3.7) вважають кінцевим ($p = p_{\text{кон}}a$).

2) вважають значення відповідних поперечних координат $x_{p \text{ нач}}$ і $x_{p \text{ кон}}$ за формулою лінійної інтерполяції

$$y = \frac{(f - f_j)(y_{j+1} - y_j)}{f_{j+1} - f_j} + y_j. \quad (3.8)$$

Для знаходження $x_{p \text{ нач}}$ приймають:

$$y = x_{p \text{ нач}}; f = z(a); f_j = z_{\delta p}; f_{j+1} = z_{\delta(p+1)}; y_{j+1} = x_{p+1}; y_j = x_p.$$

Для визначення $x_{p \text{ кон}}$ приймають

$$y = x_{p \text{ кон}}; f = z(a); f_j = z_{\delta(p-1)}; f_{j+1} = z_{\delta p}; y_{j+1} = x_p; y_j = x_{p-1}.$$

3) обчислюють площину живого перерізу ω_{kt} і ширину потоку B_{kt} ділянок поперечника з різними коефіцієнтами широтності

$$\omega_{kt} = \sum_{p=p_{t-1}}^{p=p_t} 0,5(2z(a) - z_{\delta p} - z_{\delta(p-1)})(x_p - x_{p-1}), \quad (3.9)$$

$$B_{kt} = x_{pt} - x_{pt-1}, \quad (3.10)$$

Враховуючи, що $p_{t=0} = p_{\text{нач}}$; $p_{t=M} = p_{\text{кон}}$.

4) обчислюють загальну площину перерізу потоку

$$\omega_k = \sum_{t=1}^{t=M} \omega_{kt} \quad (3.11)$$

б) на розрахунковому поперечнику

1) послідовно приймаючи, що $z(a) = (z_{\min})_k$ і $z(a) = (z_{\max})_k$, виконують

наступні операції:

Визначають $p_{(нач)}a; P_{(кон)}a; x_{(р нач)}a; x_{(р кон)}a; \omega_{ка}; \omega_{кta}; B_{кta}$ відповідно за формулами (3.6 – 3.11), використовуючи обчислені значення $\omega_{кta}; B_{кta}, \omega_{ка}$ за допомогою рівняння 3.1 підраховують величину $F(z(a))$ – величину розходження між заданим перепадом рівнів води на розрахунковій ділянці (при заданій відмітці води $z(a)$ на розрахунковому поперечнику) і перепадом, отриманим в результаті розрахунку правої частини рівняння 3.1 при $z(a)$.

2) знаходять наближене значення відмітки водної поверхні за формулою (метод пропорційності частин):

$$z_{cx} = \frac{(z_{\min})_k F((z_{\max})_k) - (z_{\max})_k F((z_{\min})_k)}{F((z_{\max})_k) - F((z_{\min})_k)}. \quad (3.12)$$

3) підставляючи $z(a) = z_{cx}$, визначаємо $p_{нач}; p_{кон}; x_{р нач}; x_{р кон}; \omega_k; \omega_{кta}; B_{кta}$ відповідно за формулами (3.6 – 3.12).

4) підраховуємо значення $F(z_{cx})$ за рівнянням (3.1).

5) де ε – задана допустима точність, якщо $|F(z_{cx})| > \varepsilon$, то в залежності від знаку вибирається частина відрізку між $(z_{\min})_k$ і $(z_{\max})_k$, на кінцях якої функція F приймає різні знаки і процес обчислення повторюється з пункту 1 з заміною $(z_{\min})_k$ і $(z_{\max})_k$ величиною z_{cx} .

6) якщо задана точність досягнута, тобто $|F(z_{cx})| \leq \varepsilon$ то обчислення по поперечнику закінчують і переходят до слідутої розрахункової ділянки, для якої розглянутий поперечник є початковим з визначеннями $\omega_k; \omega_{кta}; B_{кta}$.

3.9 Порівняння висотного положення кривої вільної поверхні води в районі мостового переходу під час катастрофічної повені з висотним розташуванням моста дає можливість установити можливість його затоплення та на яку висоту піднімається рівень води, а також можливість затоплення, населеного пункту чи інших транспортних споруд в зоні ризику.

4 ПРОГНОЗУВАННЯ ЗРОСТАННЯ ВИТРАТ ВОДИ НА РІЧЦІ ПІД ЧАС КАТАСТРОФІЧНИХ ПОВЕНЕЙ

4.1 Як уже зазначалось витрата води в річці зростає вниз за течією, оскільки в річку поступають все більші і більші маси води зі схилів водозборів і з притоків. Тому для установлення динаміки зростання витрат на будь-якій річці слід проаналізувати гідрографи води, починаючи з верхів'я і кінчаючи гирлом. Максимальні та мінімальні витрати можуть бути отримані з таблиці 1.1 та 1.2 або ж в результаті космічних спостережень.

4.2 Описуючи зміну „піків” гідрографів вздовж річки за допомогою методів математичної статистики, отримаємо залежність між витратою

води і часом добігання $Q = f(\tau)$ при максимальній швидкості течії, що дозволить встановити максимальну витрату води на існуючому мостовому переході або ж в тому поперечнику річки, де планується запроектувати міст. Із попередніх спостережень для даного перерізу річки визначають мінімальну витрату води, ширину русла ріки в межень та ширину затоплювання заплави у випадку наявності захисних дамб біля обох берегів річки, ширина затоплювання заплави може прийматися рівною відстані між захисними спорудами.

4.3 Підтвердженням цього є прийняття в 1994-2000р. Урядом України комплексної Програми проведення протиповеневих заходів на території чотирьох областей (Закарпатської, Львівської, Івано-Франківської та Чернівецької), де на десятках кілометрів збудовано захисні дамби, укріплено береги, виконано регулювання русел. Значним є обсяг ремонтних робіт на раніше споруджених об'єктах. На жаль, нестача коштів не дозволила здійснити реалізацію Програми у повному обсязі. Не дивлячись на наявність укріплювальних споруд, найбільш потенційно небезпечними ділянками на річках Карпат зазвичай є місця розташування мостових переходів. На багатьох гірських річках практично повсюдним є скупчення вище мостів решток дерев, сміття, що сприяє підйомам рівня води.

4.4 У випадку, коли відсутні захисні дамби, ширина затоплюваної заплави на мостовому переході може бути установлена за даними спостережень за катастрофічними повенями в минулі роки. Користуючись зазначеними даними та допомогою отриманої залежності можна прогнозувати висоту затоплення мостового переходу або ж підняття в цьому місці рівня води.

Приклад встановлення динаміки зростання витрат води на річці Боржава (річка-пункт, Боржава-Шаланки)

Рівняння, яке описує динаміку зростання витрат води на річці Боржава має вигляд:

$$Q = a\tau^b, \quad (4.1)$$

де Q – витрата води в $\text{м}^3/\text{s}$;

τ – час добігання, г;

a і b – невідомі постійні, які визначаються за формулами

$$\lg a = \frac{\sum \tau_i^2 \sum \lg Q_i - \sum \tau_i (\sum \lg Q_i)}{n \sum \tau_i^2 - (\sum \tau_i)^2} \quad (4.2)$$

$$\lg \sigma = \frac{n \sum \tau_i \lg Q_i - \sum \tau_i \sum \lg Q_i}{n \sum \tau_i^2 - (\sum \tau_i)^2} \quad (4.3)$$

Послідовність обчислень розглянемо на прикладі (табл.4.1)

Таблиця 4.1 – Підрахунок зростання витрати води на річці Боржава
(річка–пункт, Боржава–Шаланки)

| № п/п | τ_i | Q_i | $\lg Q_i$ | $\tau_i \lg Q_i$ | τ_i^2 | $\lg Q_i'$ | Q_i' | $Q_i - Q_i'$ |
|----------|----------|-------|-----------|------------------|------------|------------|--------|--------------|
| 1 | 2 | 3 | 4 | 5 | 6 | 7 | 8 | 9 |
| 1 | 0,98 | 10,0 | 1,00 | 0,98 | 0,9604 | 0,9726 | 9,389 | 0,61 |
| 2 | 1,96 | 50,5 | 1,699 | 3,33 | 3,8416 | 1,7654 | 58,2 | 8,2 |
| 3 | 2,94 | 380 | 2,5798 | 7,5846 | 8,6436 | 2,5582 | 361,6 | 1,9 |
| Σ | 5,88 | 440 | 5,2788 | 11,8946 | 13,448 | 5,2962 | 429,19 | 27,81 |

Колонка 2 – незалежні змінні значення τ_i , колонка 3 – залежні Q_i .
Отримавши логарифм, заповнюємо колонку 4. Помноживши значення колонок 2 і 4, заповнюємо колонку 5. Підносячи до квадрату значення колонки 2, заповнюємо колонку 6. Підсумовуючи значення всіх колонок, заповнюємо рядок суми і отримуємо, що $\Sigma \tau_i = 5,88$; $\Sigma Q_i = 440$; $\Sigma \lg Q_i = 5,2788$; $\Sigma \tau_i \lg Q_i = 11,8946$; $\Sigma \tau_i^2 = 13,448$.

Знайдені суми підставляємо у вирази (4.2) і (4.3)

$$\lg a = \frac{13,4456 \cdot 5,2788 - 5,88 \cdot 11,8946}{3 \cdot 13,4456 - 34,5744} = 0,1798;$$

$$\lg \sigma = \frac{3 \cdot 11,8946 - 5,88 \cdot 5,2788}{3 \cdot 13,4456 - 34,5744} = 0,8090.$$

Звідси отримуємо, що $a = 1,513$; $\sigma = 6,442$.

Шукане рівняння має вигляд:

$$Q = 1,513 \cdot 6,442^{\tau} \quad (4.4)$$

За отриманою формулою (4.4) визначаємо значення витрат води Q_i' , заповнюючи колонку 8 таблиця 4.1.

За цими значеннями будуємо графік вирівненої кривої, який поданий на див. рис.4.1. Представлені приклади кривих і інших функцій: $y' = a + b \lg$

x для витрати $Q = a + b \lg t$; $y' = ax^b$ для витрати $Q = a \cdot t^b$ та експериментальна ламана крива, що можуть бути використані для апроксимації цієї кривої, побудованої за натурними даними. Крім того, з цією метою, можуть бути використані не тільки наведені функції. Головна вимога полягає в тому, щоб вони добре описували натуральні дані і відповідали критеріям відповідності.

Таким чином, на комп'ютері за допомогою спеціальної програми підбирається відповідний тип кривої (у розглянутому випадку $y' = ab^x$ для витрати $Q = a \cdot b^x$), який дозволяє достатньо надійно описати хід

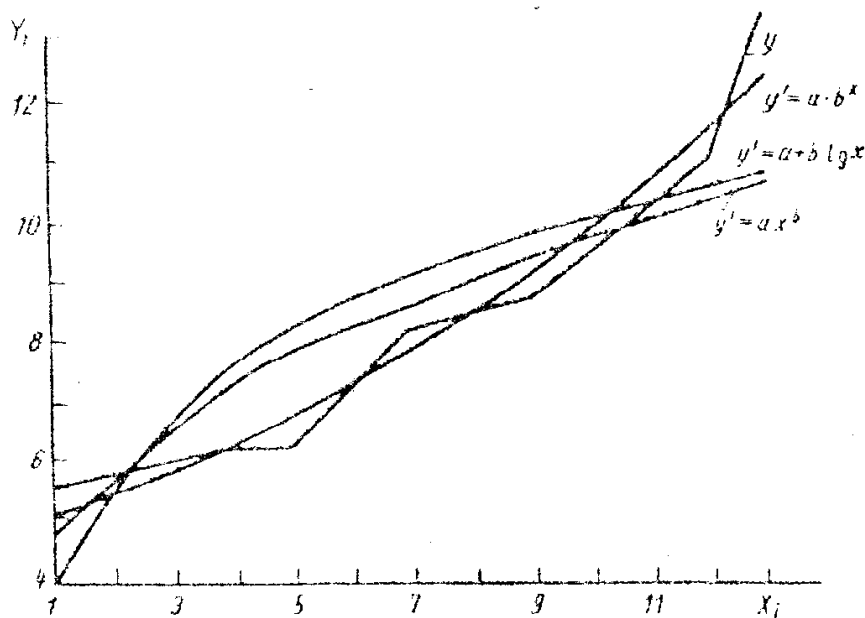


Рисунок 4.1- Приклад апроксимування математичними залежностями експериментальної кривої

зміни величини витрати води по довжині річки, тобто з врахуванням часу добігання води t . Враховуючи той факт, що під час катастрофічної повені можна достатньо надійно і швидко визначити швидкість течії, в розглянутому прикладі $V_{\max} = 3$ м/с, установлюється відстань до поперечника річки, де знаходиться мостовий перехід і визначається величина витрати на даному перерізу річки.

Знаходимо величину основної похибки. Для цього обчислюємо $(Q_i - Q'_i)^2$, заповнюючи колонку 9 і знаходимо $\Sigma(Q_i - Q'_i)^2 = 27,81$.

Основна похибка дорівнює:

$$\sigma_o = \sqrt{\frac{\sum(Q_i - Q'_i)^2}{n-1}} = \sqrt{\frac{10,811^2}{2}} = 7,66 .$$

Ця величина є рівномірною. Її можна вважати малою і призначати, якщо $\sigma_o < 0,1Q$ – вирівнювання задовільне. Середнє значення $Q = 146,6$, тоді похибка 7,66 менша $0,1Q = 14,66$.

4.5 За зазначеною методикою, користуючись методами математичної статистики, встановлюється залежність $Q = f(\tau)$ дляожної річки, де має місце мостовий перехід або ж планується його будівництво з метою встановлення висоти затоплення під час катастрофічних повеней.

5 РОЗРАХУНОК ВИСОТИ ЗАТОПЛЕННЯ МОСТІВ ПІД ЧАС КАТАСТРОФІЧНИХ ПОВЕНЕЙ В ЗАКАРПАТСЬКІЙ, ЛЬВІВСЬКІЙ ТА ІВАНО-ФРАНКІВСЬКІЙ ОБЛАСТЯХ

5.1 Встановлення масштабів заплавних розмивів у часі (у високу повінь) і в просторі (по довжині річки) дозволяє за отриманими закономірностями затоплення і випорожнення вздовж річки в процесі проходження повені зробити висновок про трансформацію хвилі повені і забезпечити більш точний прогноз найвищих рівнів і розмірів заплавних розмивань і затоплень. Для цього слід використовувати аерокосмічні методи, які дозволяють встановити місця мостових переходів з метою їх будівництва, де немає затоплення під час катастрофічних повеней.

5.2 Для вирішення поставленої задачі слід проаналізувати русла гірських річок. Гірські і передгірські ділянки рік Українських Карпат мають схожість з рівнинними річками в розвитку мезоформ. Основна різниця між цими річками виражається лише в наявності обмежуючих факторів і здатності живлення річок наносами, що найбільш чітко проявляється на їх ділянках до виходу річок з гір. Обмежуючим фактором є фактор, що перешкоджає розвитку деформації русла при природних умовах течії.

5.3 Аналіз матеріалів обстежень рік Українських Карпат з врахуванням існуючих типізацій руслового процесу дозволили виділити наступні типи їх руслових форм:

- 1) Стиснуті русла з обмеженим надходженням наносів, які зустрічаються в трьох різновидностях:
 - ті, що не розмиваються скельні русла, з нечітко вираженими берегами;
 - стиснуті русла (тіснини) з уривистими берегами;
 - каналізоване русло;
- 2) Стиснуті русла з необмеженим надходженням наносів;
- 3) Русла обмеженого меандрування;
- 4) Русла багаторукавність;
- 5) Русла незавершеного меандрування;
- 6) Русла вільного меандрування.

5.4 Стиснуті русла з обмеженим надходженням наносів. В цих руслах

повільно відсутнє накопичення руслових відкладень і русловий потік заповнює скелясте русло по всій малозмінній ширині між берегами, які важко розмиваються. Дно таких русел дуже часто може складатися не тільки зі скельних корінних порід, але й з крупних руслових відкладень. Таке русло має трикутну форму.

5.5 Стиснуті русла з обмеженим надходженням наносів зустрічається на річках Українських Карпат в таких різновидностях:

- нерозминає (скельне) русло з нечітко вираженими берегами. Зустрічається майже на всіх річках, головним чином у верхів'ях і на мілких бічних притоках і характеризується трикутною формою русла;
- V-подібною долиною. Потік протікає по такому руслу і не може заглибитися в скельне дно;
- стиснуті русла з обривистими берегами, які мають місце, головним чином, в середній гірській частині рік Карпат, де утворюються в результаті заглиблення річки в дно гірської долини, яке важко розминається. Такі русла в поперечному перерізі мають трикутну форму.

5.6 Каналізоване русло зазвичай розміщується в гірській долині, як в гірській частині, так і після виходу річки із гір. Характеризується помірною звивистістю з кутами повороту, що не перевищують 90° , між поворотами таких русел мають місце довгі прямолінійні ділянки. Форма русла в поперечному перерізі носить як трапецеїдальний так трикутний характер. Межений потік заповнює ці русла по всій ширині, і оскільки ширина русла незмінна по всій довжині, то вони нагадують штучні канали.

5.7 Стиснуті русла з необмеженим надходженням наносів з берегами, які важко розминаються характеризуються утворенням руслових форм у вигляді побочнів і мілин. Цей тип русел має місце в звуженнях гірської долини в середній гірській частині рік Карпат.

5.8 Русла обмеженого меандрування зустрічаються на річках Українських Карпат до виходу із гір на розширеніх ділянках гірських долин. Значною особливістю цього типу є обмеження розмиву угнутих берегів. Ширина пояса меандрування дорівнює ширині дна гірської долини.

5.9 Русла незавершеного меандрування починаються безпосередньо після виходу цих рік із гір.

5.10 Русла вільного меандрування зафіковані на карпатських річках, головним чином, на ділянках віддалених від гір. Форма цих русел має трапецеїдальний характер.

5.11 Для визначення висоти затоплення заплав, мостових переходів, штучних споруд – мостів, згідно проведеним дослідженням [6] рекомендується використовувати слідучу формулу:

$$h = \frac{2(Q_{\max} - Q_{\min})}{V_{\max}(C_{n.z.} + \sigma)}, \quad (5.1)$$

де Q_{\max} – максимальна витрата води ($\text{м}^3/\text{с}$) під час повені, яка визначалася за даними, (див. в табл.1.1);

Q_{\min} – мінімальна витрата води ($\text{м}^3/\text{с}$) під час межені (див. табл.1.1) ;

V_{\max} – максимальна швидкість води під час повені ($\text{м}/\text{с}$), яка складала 2 м/с, 3 м/с, 4 м/с в залежності від ділянки спостережень;

$C_{n.z.}$ – ширина затоплення заплави (м), яка встановлювалася шляхом натурних спостережень або аерокосмічних зйомок;

σ – ширина русла під час межені (м).

На виході з гір ширина найбільших карпатських річок у межін сягає 30-35 м. Слід зазначити також, що біля більшості мостових переходів побудовані захисні дамби, а тому ширина затоплення заплави $C_{n.z.}$ може бути обґрунтована відстанню між цими спорудами.

5.12 Для встановлення висоти підйому води на мостових переходах в зоні заплавних насипів та в зоні самого моста слід керуватися залежністю (5.1) між висотою підйому води (h) на заданому поперечнику річки та шириною затоплення заплави ($C_{n.z.}$) на заданій ділянці річки біля мостового переходу. Ця залежність подана на рис.5.1 для ділянки річки – пункт: Тиса – Вилок, а розрахункові дані подані в табл.5.1, де враховуються витрати: максимальна $Q_{\max} = 3650 \text{ м}^3/\text{s}$ на 14.05.70 і мінімальна $Q_{\min}=10,4 \text{ м}^3/\text{s}$ на 17.02.64 (див. табл.1.2). Ширина затоплення заплави (м) $C_{n.z.}$ приймалася рівною від 40 до 600 м, а ширина русла в межень: 30, 50, 100, 200 та 300 м.

5.13 Отримані величини підняття рівня води під час катастрофічних повеней на річках Закарпатської, Львівської та Івано-Франківської областей можуть бути поширені на мостові переходи, які знаходяться поблизу зазначених пунктів, а також за допомогою цих даних стає можливим встановити межі розливання води та затоплення заплав, населених пунктів чи інших інженерних споруд. Для цього необхідно встановити швидкість течії річки, яка вимірюється за допомогою існуючих методів, не витрачаючи на це значного часу. За допомогою отриманих даних можна оперативно передбачати гідрологічну обстановку на вказаних річках та існуючих мостових переходах та прийняти відповідні заходи щодо попередження руйнувань. Особливо ефективним є застосування цієї методики при проектуванні нових мостових переходів у зазначеному регіоні, враховуючи можливість появи катастрофічних повеней та відповідного підняття рівня води, оскільки руйнування мостових переходів здійснюється головним чином через неврахування цієї ситуації.

Зазначена методика може також застосовуватися на малих річках на невеликих мостових переходах, на яких відсутні натурні спостереження. А

**Таблиця 5.1 – Визначення величин затоплення мостових переходів на р. Тиса
річка-пункт (Тиса – Вилок)**

саме, користуючись, зазначеним способом прогнозування максимальних витрат під час катастрофічних повеней, слід установлювати висоту підняття рівня води і можливість затоплення малих мостів, яке є не менш небезпечним, чим для великих мостів. Методика прогнозування затоплення мостових переходів під час стихійних лих на прикладі Закарпатської, Львівської та Івано-Франківської області може використовуватися і в інших регіонах, де мають місце такі явища, як сезонні повені, але необхідно враховувати місцеві природні особливості, які впливають на достовірність встановлення найбільш вірогідної максимальної витрати. В останні роки мають місце затоплення мостів і в рівнинних районах, для його прогнозування слід проводити додаткові дослідження.

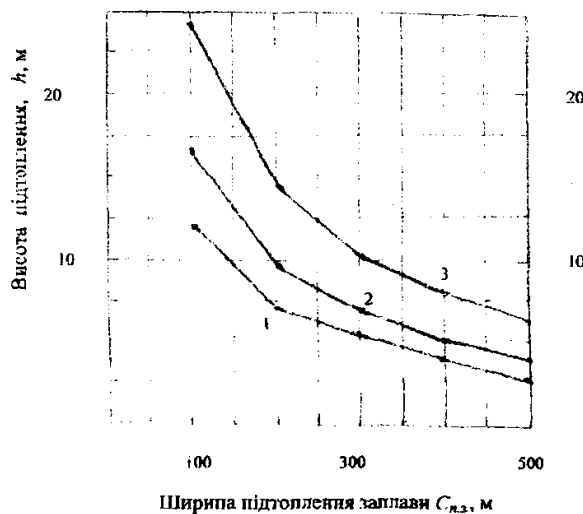


Рисунок 5.1 – Залежність між піриною затоплення заплави та глибиною затоплення в районі мостового переходу на ділянці річка-пункт: Тиса – Вилок при ширині заплави $b = 50$ м : 1 – $V_{max} = 4$ м/с ;
2 – $V_{max} = 3$ м/с ;
3 – $V_{max} = 2$ м/с .

Розрахункові величини висоти затоплення біля мостових переходів, як існуючих так і тих, що проектируються на р.Тиса відповідно до таблиці 5.1. На рисунку 5.1 подана закономірність зміни висоти затоплення h (м) від ширини затоплення заплави $C_{n.z.}$ (м) для окремого випадку. Величини затоплення мостових переходів для річок Львівської, Івано-Франківської та Закарпатської областей відповідно до табл. 5.2.

Таблиця 5.2 – Величини затоплення мостових переходів для річок
Львівської, Івано-Франківської та Закарпатської областей

| № п/п | Назва (річка-пункт) | Q_{\max} , м ³ /с | Q_{\min} , м ³ /с | $C_{n.z.}$, м | σ , м | V_{\max} , м/с | h , м |
|----------|---------------------------|-----------------------------------|-----------------------------------|-------------------|-----------------|---------------------|------------|
| 1 | 2 | 3 | 4 | 5 | 6 | 7 | 8 |
| 1 | Боржава – Шаланки | 466 | 1,19 | 20 | 20 | 3 | 7,72 |
| 2 | Латорица – Чоп | 653 | 2,66 | 30 | 30 | 3 | 7,22 |
| 3 | Тересва – Усть-Чорна | 469 | 0,40 | 40 | 30 | 3 | 4,46 |
| 4 | Ріка – Міжгір'я | 735 | 0,29 | 50 | 50 | 3 | 4,69 |
| 5 | Стрий – Верхнє Синьовидне | 2610 | 1,56 | 150 | 100 | 3 | 6,95 |
| 6 | Дністер – Заліщики | 8040 | 6,98 | 250 | 200 | 3 | 11,99 |
| 7 | Теребля – Колочава | 330 | 0,75 | 40 | 35 | 3 | 2,92 |
| 8 | Уж – Ужгород | 1680 | 0,50 | 250 | 50 | 3 | 3,73 |
| 9 | Сірет – Сторожинець | 816 | 0,10 | 45 | 20 | 3 | 8,36 |
| 10 | Прut – Чернівці | 5200 | 1,90 | 400 | 100 | 2 | 10,39 |
| 11 | Дністер – Самбір | 702 | 0,05 | 40 | 20 | 3 | 6,96 |
| 12 | Дністер – Галич | 4040 | 6,53 | 170 | 100 | 3 | 9,95 |
| 13 | Західний Буг – Літовиж | 216 | 6,21 | 27 | 5 | 3 | 4,33 |
| 14 | Дунай – Рені | 16000 | 1280 | 2879 | 100 | 2 | 4,94 |
| 15 | Полтва – Буськ | 119 | 0,33 | 21,0 | 5 | 2 | 4,55 |
| 16 | Свіча – Зарічне | 1970 | 0,71 | 385 | 35 | 2 | 4,68 |
| 17 | Лімниця – Перевозець | 1120 | 0,68 | 211 | 35 | 2 | 4,54 |
| 18 | Золота Липа – Задарів | 115 | 0,42 | 24,15 | 5 | 2 | 3,93 |
| 19 | Стрипа – Бучач | 192 | 1,02 | 72,0 | 5 | 2 | 2,48 |
| 20 | Сірет – Чортків | 313 | 0,23 | 48,0 | 30 | 2 | 4,01 |
| 21 | Збруч – Завалля | 185 | 1,29 | 55,60 | 5 | 2 | 3,03 |

Кінець таблиці 5.2

| 1 | 2 | 3 | 4 | 5 | 6 | 7 | 8 |
|----|---------------------|-----|------|-------|---|---|------|
| 22 | Смотрич – Щибулівка | 243 | 0,14 | 55,41 | 5 | 2 | 4,02 |

В таблиці 5.3 подані величини затоплення та розливання води при швидкості течії $V= 2$ м/с в зазначених пунктах.

Таблиця 5.3 – Величини затоплення мостових переходів для річок Львівської, Івано-Франківської та Закарпатської областей

| № п/п | Назва (річка – пункт) | Q_{max} , м ³ /с | Q_{min} , м ³ /с | $C_{n.z.}$, м | σ , м | V_{max} , м/с | h , м |
|----------|---------------------------|----------------------------------|----------------------------------|-------------------|-----------------|--------------------|------------|
| 1 | Боржава – Шаланки | 466 | 1,19 | 51,50 | 5 | 2 | 8,22 |
| 2 | Латорица – Чоп | 653 | 2,66 | 90,63 | 5 | 2 | 6,80 |
| 3 | Тересва – Усть-Чорна | 469 | 0,40 | 105,00 | 5 | 2 | 4,26 |
| 4 | Ріка – Міжгір'я | 735 | 0,29 | 132,80 | 40 | 2 | 4,25 |
| 5 | Стрий – Верхнє Синьовидне | 2610 | 1,56 | 441,20 | 40 | 2 | 5,42 |
| 6 | Дністер – Заліщики | 8040 | 6,98 | 729,40 | 100 | 2 | 10,44 |
| 7 | Теребля – Колочава | 330 | 0,75 | 143,30 | 5 | 2 | 2,22 |
| 8 | Уж – Ужгород | 1680 | 0,50 | 827,90 | 100 | 2 | 1,81 |
| 9 | Сірет – Сторожинець | 816 | 0,10 | 105,10 | 40 | 2 | 5,62 |
| 10 | Дністер – Самбір | 702 | 0,05 | 107,85 | 20 | 2 | 5,49 |
| 11 | Дністер – Галич | 4040 | 6,53 | 309,9 | 100 | 2 | 9,84 |
| 12 | Західний Буг – Літовиж | 216 | 6,21 | 43,5 | 5 | 2 | 4,33 |
| 13 | Рата – Межиріччя | 222 | 0,33 | 20,40 | 5 | 2 | 4,67 |
| 14 | Дунай – Рені | 16000 | 1280 | 2879 | 100 | 2 | 4,94 |
| 15 | Полтва – Буськ | 119 | 0,33 | 21,0 | 5 | 2 | 4,55 |
| 16 | Свіча – Зарічне | 1970 | 0,71 | 385 | 35 | 2 | 4,68 |
| 17 | Лімниця – Перевозець | 1120 | 0,68 | 211 | 35 | 2 | 4,54 |

Кінець таблиці 5.3

| | | | | | | | |
|----|-----------------------|-----|------|-------|----|---|------|
| 18 | Золота Липа – Задарів | 115 | 0,42 | 24,15 | 5 | 2 | 3,93 |
| 19 | Стрипа – Бучач | 192 | 1,02 | 72,0 | 5 | 2 | 2,48 |
| 20 | Серет – Чортків | 313 | 0,23 | 48,0 | 30 | 2 | 4,01 |
| 21 | Збруч – Завалля | 185 | 1,29 | 55,60 | 5 | 2 | 3,03 |
| 22 | Смотрич – Цибулівка | 243 | 0,14 | 55,41 | 5 | 2 | 4,02 |

5.14 За даним методом розраховувалися значення висоти захисних дамб на р.Тиса за формулою:

$$h_{\text{дамби}} = \frac{Q_{\max} - Q_{\min}}{V_{\max} C_{\text{в.д.}}}, \quad (5.2)$$

де $C_{\text{в.д.}}$ – відстань між захисними дамбами, яка дорівнює 200-300 м.

Для ділянки р.Тиса при Q_{\max} були розраховані такі значення висоти дамб: для швидкості $V_{\max} = 4 \text{ м/с}$, $h_{\text{дамби}} = 3,03 \text{ м}$; для швидкості $V_{\max} = 3 \text{ м/с}$, $h_{\text{дамби}} = 4,04 \text{ м}$; для швидкості $V_{\max} = 2 \text{ м/с}$, $h_{\text{дамби}} = 6,06 \text{ м}$.

5.15 Практичний інтерес представляє встановлення величин площи затоплення в залежності від максимальної витрати на водосту, які подані в табл. 5.4 за даними космічних спостережень.

Для просторової оцінки гідрологічної ситуації під час катастрофічної повені використовувалася залежність [6] на основі якої були проведені розрахунки площи підтоплення за формулою:

$$F = 0,00005 Q_{\max}^3 - 0,0052 Q_{\max}^2 + 0,2537 Q_{\max} - 3,0986; \quad (5.3)$$

$$R^2 = 0,9759.$$

Отримані дані (див.табл.5.3) дали можливість виявити мостові переходи, що попадають через час добігання ($\tau = 9 \text{ діб}$) в зону підтоплення і прийняти завчасно заходи, щодо попередження їх руйнування та при проектуванні мостових переходів врахувати ці особливості.

Таблиця 5.4 – Величини площи затоплення під час катастрофічних повенів в залежності від максимальної витрати води на водосту ($\tau = 9 \text{ діб}$)

| № п/п | Максимальна витрата води, Q_{\max} , тис. $\text{м}^3/\text{с}$ | Площа затоплення, F , тис. км^2 | Примітки |
|----------|--|---|-------------------------------------|
| 1 | 2 | 3 | 4 |
| 1 | 20 | 0,290 | за даними космічних спостережень |

Кінець таблиці 5.4

| 1 | 2 | 3 | 4 |
|---|----|-------|----------------------------------|
| 2 | 21 | 0,400 | за даними космічних спостережень |
| 3 | 22 | 0,498 | |
| 4 | 23 | 0,594 | |
| 5 | 24 | 0,680 | |
| 6 | 25 | 0,780 | |
| 7 | 30 | 1,190 | |

Додаток А
(довідковий)

НОРМАТИВНІ ПОСИЛАННЯ

- У цій Методиці є посилання на такі нормативні документи:
- ДБН В.2.3.-4-2000 Автомобільні дороги
- ДБН В.2.3-14:2006 Споруди транспорту. Мости та труби. Правила проектування
- Пособие к СНиП 2.05.03-84 “Мосты и трубы” по изысканию и проектированию железнодорожных и автодорожных мостовых переходов через водотоки (ПМП-91).М.,1992. – 410с. (Посібник до БНіП 2.05.03-84 “Мости та труби” з вищукування та проектування залізничних та автодорожніх мостових переходів через водотоки (ПМП-91))
- СНиП 2.06.15-85 Инженерная защита территорий от затопления и подтопления (БНіП 2.06.15-85 Інженерний захист територій від затоплення та підтоплення)
- Методика расчёта зон затопления при гидродинамических авариях, Утверждена постановлением Госгортехнадзора России от 04.11.2000 № 65. Введена в действие 04.11.2000 (Методика разработки зон затопления под час гидродинамических аварий, Затверджена постановою Держмістотехнагляду Росії від 04.11.2000 № 65. Введена в дію 04.11.2000)
- Белятинський А.О. Гідрологічні розвідування мостових переходів з застосуванням методів дистанційного зондування Землі. – Дисертація на здобуття наукового ступеня доктора технічних наук.-К., НАУ, НТУ 2005.-400с.
- Методические рекомендации по расчёту деформаций русел и выбору защитно-регуляционных мероприятий на реках Украинских Карпат. – Киев: УкрНИИГиМ, 1987. – 189с. (Методичні рекомендації з розрахунку деформацій русел та вибору захистно-регуляційних заходів на ріках Українських Карпат)

Додаток Б
(довідковий)

ТЕРМІНИ ТА ВИЗНАЧЕННЯ ПОНЯТЬ

У цій Методиці використані такі терміни та гідрравлічні поняття:

вільна поверхня потоку – поверхня розподілу між рідиною і газоподібним середовищем;

коефіцієнт варіації – число, яке характеризує мінливість випадкової величини, наприклад, витрати води;

коефіцієнт шорсткості – число, яке визначається експериментально і характеризує ступінь шорсткості стінок русла, розмірність коефіцієнта шорсткості може бути різною в залежності від виду емпіричної формули;

крива вільної поверхні потоку – лінія перетину вільної поверхні потоку з поздовжньою (по відношенню до потоку) вертикальною площинами;

число Фруда – безрозмірний вираз, який використовується як характеристика безнапірного потоку.

| ЗМІСТ | С. |
|--|-----------|
| 1 Сфера застосування | 3 |
| 2 Прогнозування витрат води на річках Закарпатської, Львівської та Івано-Франківської областей під час холодного та теплого періодів року | 3 |
| 3 Розрахунок кривої вільної поверхні води в районі мостового переходу під час катастрофічної повені | 21 |
| 4 Прогнозування зростання витрат води на річці під час катастрофічних повеней | 26 |
| 5 Розрахунок висоти затоплення мостів під час катастрофічних повеней в Закарпатській, Львівській та Івано-Франківській областях | 30 |
| Додаток А Нормативні посилання | 39 |
| Додаток Б Терміни та визначення понять | 40 |